

نشریه تحقیقات کاربردی علوم جغرافیایی، سال بیست و دوم، شماره ۶۶، پاییز ۱۴۰۱

## پایش تغییرات پوشش اراضی در ۳۲ سال گذشته با استفاده از تکنیک سنجش از دور (مورد مطالعه: شهرستان پیشوا)

دریافت مقاله: ۹۸/۲/۲۸ پذیرش نهایی: ۹۸/۷/۵

صفحات: ۱۴۵-۱۵۸

نگار، قاسمی: دانشجوی کارشناسی ارشد، گروه منابع طبیعی و محیط زیست، دانشگاه پیام نور، تهران، ایران.

Email: negar.gh1394@gmail.com

مرضیه، علی خواه اصل<sup>۱</sup>: استادیار، گروه منابع طبیعی و محیط زیست، دانشگاه پیام نور، تهران، ایران.

Email: alikhahasl@pnu.ac.ir

محمد، رضوانی: دانشیار، گروه منابع طبیعی و محیط زیست، دانشگاه پیام نور، تهران، ایران.

Email: m\_rezvani@pnu.ac.ir

### چکیده

مطالعه میزان تغییرات و تخریب منابع می‌تواند در برنامه‌ریزی و استفاده بهینه از منابع و کنترل و مهار تغییرات غیراصولی در آینده گام مهمی باشد و از آنجا که این تغییرات در سطوح وسیع و گسترده اتفاق می‌افتد، بنابراین تکنولوژی سنجش از دور ابزاری ضروری و ارزشمند جهت پایش تغییرات می‌باشد. هدف از تحقیق حاضر، پایش پوشش اراضی شهرستان پیشوا با تکنیک سنجش از دور است. بدین منظور ابتدا تصاویر ماهواره لندست مربوط به سال‌های ۱۹۸۶، ۲۰۰۲ و ۲۰۱۸ تهیه و پس از تصحیح رادیومتریک و بررسی صحت هندسی، طبقه‌بندی تصاویر به روش حداکثر احتمال و دقت طبقه‌بندی نیز با شاخص کاپا و صحت کلی بررسی شد. نتایج نشان داد که در طی سی و دو سال گذشته سطح اراضی بایر و زراعت آبی در منطقه کاهش و سطح کاربری‌های گلخانه و انسان‌ساخت افزایش یافته است و در بررسی دقت طبقه‌بندی تصاویر نیز تصاویر مربوط به سال‌های ۲۰۱۸، ۲۰۰۲ و ۱۹۸۶ مربوط به سنجنده‌های OLI، ETM و TM به ترتیب با ضریب کاپا ۰/۹۶، ۰/۸۰ و ۰/۷۶ و صحت کلی ۹۷/۵۶، ۸۶/۵۴ و ۸۶ درصد از بیشترین دقت طبقه‌بندی برخوردار است. بر اساس نتایج در دوره اول (۱۹۸۶-۲۰۰۲)، ۲۷/۶ درصد از منطقه، در دوره دوم (۲۰۰۲-۲۰۱۸) ۲۹/۶ درصد از منطقه و در بازه (۲۰۱۸-۱۹۸۶) ۳۱/۸ درصد از منطقه دچار تغییرات کاربری اراضی شده است که این روند تغییرات در منطقه ناشی از شرایط اقلیمی از قبیل کاهش بارندگی، وقوع خشک‌سالی و شرایط اجتماعی نظیر افزایش جمعیت و نیاز غذایی و شرایط اقتصادی نظیر سود بیشتر با افزایش راندمان تولید بوده است.

کلید واژگان: شهرستان پیشوا، تصاویر ماهواره‌ای، تغییرات پوشش اراضی، سنجش از دور.

۱. نویسنده مسئول: گروه منابع طبیعی و محیط زیست، دانشگاه پیام نور، صندوق پستی ۴۶۹۷-۱۹۳۹۵، تهران، ایران.

## مقدمه

یکی از خطرهای اکولوژیکی و محیطی که جهان کنونی با آن روبه رو است پدیده تغییرات پوشش اراضی است. کاربری و پوشش اراضی در طول زمان در حال تغییر بوده که این تغییرات سبب افزایش تخریب سرزمین و اکوسیستم به ویژه در نواحی خشک و نیمه خشک می شود. تغییرات در کاربری معمولاً به دو صورت طبیعی و انسانی و در اثر بهره برداری انسان از منابع ایجاد می گردد و از آنجایی که رخدادهای تغییر کاربری به عنوان یکی از مهم ترین مسائل زیست محیطی عصر حاضر، در مقیاس های کلان زمانی و مکانی صورت می گیرد، بنابراین بارز سازی و پایش تغییرات کاربری در جهت شناخت اولیه و ارزیابی روند تغییرات آن ها می تواند به عنوان ابزاری سودمند در جهت مدیریت و برنامه ریزی محیط مفید واقع گردد (موسوی، ۱۳۹۴: ۱۳۰).

آشکارسازی تغییرات فرایندی است که امکان مشاهده و تشخیص تفاوت ها و اختلاف سری زمانی پدیده ها، عارضه ها و الگوهای سطح زمین را فراهم می کند (یانگ و لو<sup>۱</sup>، ۲۰۰۲: ۱۷۷۷) و امروزه با توجه به روند رو به رشد جمعیت و تمایل به زندگی شهری، بیشترین تغییرات پوشش اراضی در نواحی شهری به وقوع می پیوندد. همچنین، اطلاعات به هنگام و دقیق در مورد پوشش اراضی شهری مورد نیاز تصمیم گیران و محققان در همه سطوح است (یو آن<sup>۲</sup> و همکاران، ۲۰۰۵: ۳۱۷). از این رو، در مدیریت بهینه در خصوص محیط زیست و منابع طبیعی، آگاهی از میزان و نوع تغییرات پوشش اراضی و عوامل مؤثر در آن بسیار ضروری است. در این خصوص داده های سنجش از دور به دلیل داشتن ویژگی های همچون پوشش وسیع، به روز بودن، تکراری بودن، توان تفکیک طیفی و مکانی و راديو متریک، رقومی بودن و ... از قابلیت های بسیار بالایی برای بررسی مکانی و زمانی پوشش اراضی برخوردار هستند و با توجه به مزیت ها و قابلیت هایی که داده های ماهواره ای دارند، این تکنولوژی می تواند کمک شایانی به شناسایی و کشف این تغییرات نماید (سبزقبایی و همکاران، ۱۳۹۶: ۱۴۳). از سوی دیگر، دردنیای امروز از فناوری سنجش از دور و سامانه اطلاعات جغرافیایی جهت برنامه ریزی و مدیریت کارآمد منابع طبیعی، کشاورزی، محیط زیست و مدیریت شهری استفاده فراوان می شود (پیروززاده و همکاران، ۱۳۹۸: ۵۵). شهرستان پیشوا یکی از شهرستان های استان تهران به دلیل نزدیکی به پایتخت در سال های اخیر شاهد افزایش جمعیت به دلیل مهاجرپذیری بوده است. گذشته از افزایش جمعیت شرایط طبیعی نظیر و شرایط اقتصادی سبب شده است که در طی سالیان اخیر تغییرات گسترده کاربری و پوشش اراضی در سطح این منطقه ایجاد شده است که بر اساس آمار، بیشترین میزان احداث شهرک های گلخانه ای در کشور در این منطقه به ثبت رسیده است. به همین دلیل به منظور آگاهی از نوع و میزان تغییرات در سطح این منطقه نیاز است تا با استفاده از تصاویر ماهواره ای میزان و نوع این تغییرات بررسی شود. در شهرستان پیشوا، به دلیل برخورداری از شرایط اقلیمی خشک و نیمه خشک تغییرات کاربری اراضی می تواند خسارت بیشتری را نسبت به دیگر مناطق ایجاد کند به همین دلیل بررسی تغییرات کاربری اراضی در این منطقه بسیار ضروری به نظر می رسد و در همین

1 Yang and Lo

2 Yuan

راستا هدف از تحقیق حاضر، پایش پوشش اراضی شهرستان پیشوا با تکنیک سنجش از دور در ۳۲ سال گذشته می‌باشد.

در بررسی پیشینه تحقیق، مطالعات مختلفی در داخل و خارج از کشور به انجام رسیده است که به چند مورد از آن‌ها اشاره می‌شود:

دنگ<sup>۱</sup> و همکاران (۲۰۱۸) نیز با استفاده از تصاویر ماهواره لندست ۸ به طبقه‌بندی اراضی در منطقه‌ای در چین پرداختند که برای این کار از روش‌های سنجش از دور استفاده کرده و نتیجه گرفتند دقت استفاده از این تصاویر بسیار بالا است. ژو<sup>۲</sup> و همکاران (۲۰۱۸) به ارزیابی تغییرات سطح زیر کشت محصولات زراعی در بازه ۱۹۸۴ تا ۲۰۱۶ در آفریقای جنوبی پرداختند. تحقیقات ایشان نشان داد که با استفاده از تصاویر لندست می‌توان با محاسبه سطح اراضی زراعی از بین رفته، امنیت غذایی در آفریقا را مورد بررسی قرار داد. آتیک و شانکار<sup>۳</sup> (۲۰۱۹) با استفاده از تصاویر لندست به ارزیابی تغییرات رخ داده در ۳۰ سال گذشته پرداختند و نتیجه گرفتند در طی این مدت اراضی بایر کاهش، اراضی شهری و پوشش گیاهی متراکم و پراکنده افزایش و سطوح آبی بدون تغییر چندانی باقی مانده است.

در ایران نیز فارسی و یوسفی (۱۳۹۲)، به منظور آشکارسازی تغییرات کاربری اراضی دشت بجنورد از تصاویر ماهواره لندست با استفاده از الگوریتم حداکثر احتمال به منظور طبقه‌بندی استفاده کردند و در نهایت به این نتیجه رسیدند که مساحت اراضی دیم و مراتع روندی کاهشی و اراضی شهری و انسان‌ساخت روند افزایش داشته است. همچنین، حیدریان و همکاران (۱۳۹۲)، در مقاله‌ای تحت عنوان پایش تغییرات پوشش اراضی در ۳۲ سال گذشته با استفاده از تکنیک سنجش از دور به پایش تغییرات کاربری اراضی کلان‌شهر تهران در بازه زمانی (۱۳۸۵-۱۳۷۴) پرداخته‌اند که نتایج آشکارسازی تغییرات با ضریب کاپای ۹۱٪ و ضریب کرامر ۸۸٪ نشان می‌دهد افزایش مساحت در مناطق ساخته‌شده (۴۶۰۳/۶۸ هکتار)، پارک‌ها (۶۵۰/۷ هکتار) و سطوح آبی (۲۲/۳۲ هکتار) و همچنین کاهش مساحت در زمین باز (۴۵۶۱/۴۷ هکتار) و پوشش گیاهی (۷۱۵/۲۳ هکتار) رخ داده است و بیشترین تغییرات مناطق ساخته‌شده، در غرب شهر تهران صورت گرفته است. علیخواه اصل و ناصری (۱۳۹۵) به بررسی اثر تغییرات پوشش اراضی بر مراتع حوزه آبخیز قوری چای با تکنیک سنجش از دور پرداختند و نتایج تحقیق نشان داد که در طی دوره زمانی مورد بررسی ۵۸۸۵ هکتار (۴۹/۷٪) از سطح حوزه دچار تغییر کاربری شده است که بیشترین تغییر مربوط به کاهش شدید مراتع حوزه به میزان ۲۵۴۰ هکتار (۲۱/۴٪) بر اثر تبدیل به اراضی کشت دیم و بایر می‌باشد. امینی (۱۳۹۶) به پایش تغییرات کاربری اراضی با به‌کارگیری تکنیک سنجش از دور (مطالعه موردی: شهرستان ساوجبلاغ، استان البرز) پرداختند و نتایج تحقیق حاضر نشان‌دهنده این امر است که علی‌رغم بالا بودن قدرت تصاویر لندست در تهیه نقشه کاربری اراضی، می‌توان با استفاده از شاخص‌ها و لایه‌های جانبی نظیر NDVI، ارتفاع و درصد شیب قدرت تفکیک کاربری‌ها از

1 Deng

2 Zhu

3 Athick and Shankar

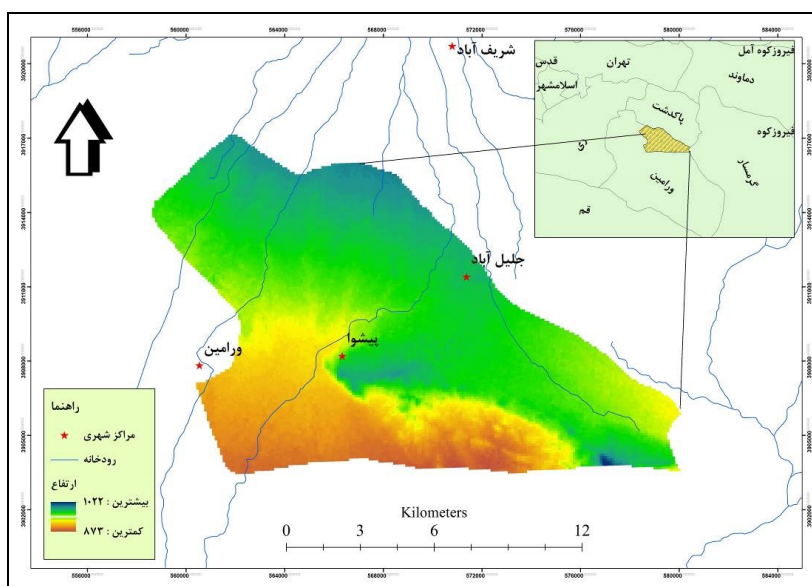
یکدیگر را بهبود بخشید. سبزقبائی و همکاران (۱۳۹۶) به ارزیابی تغییرات کاربری اراضی با استفاده از روش‌های سنجش‌ازدور و جی ای اس در شهرستان قائم‌شهر پرداختند و به این نتیجه رسیدند که به‌کارگیری تصاویر ماهواره‌ای برای تهیه نقشه‌های کاربری و تغییرات آن جهت تسهیل در مدیریت منابع محیطی امری ضروری است.

مرور پیشینه تحقیق نشان می‌دهد که در داخل و خارج از کشور استفاده از تصاویر ماهواره‌ای لندست در پایش تغییرات کاربری اراضی به شکل مطلوب ارزیابی شده است و از دقت مناسبی برخوردار بوده است و با توجه به ضرورت مطالعه در منطقه مورد مطالعه، هدف از انجام این تحقیق، پایش تغییرات کاربری اراضی با استفاده از تصاویر چند زمانه ماهواره لندست در شهرستان پیشوا بوده است.

## روش تحقیق

### منطقه مورد مطالعه

منطقه پیشوا با مساحت ۱۷۲۲۹ هکتار در طول جغرافیایی ۵۱ درجه و ۳۸ دقیقه تا ۵۱ درجه و ۵۲ دقیقه و عرض جغرافیایی ۳۵ درجه و ۱۶ دقیق تا ۳۵ درجه و ۳۳ دقیقه واقع شده است که از شمال با شهرستان پاکدشت، از غرب با شهرستان ری و از شرق با شهرستان گرمسار همسایه است و خود بخشی از شهرستان ورامین می باشد که در شمال این شهرستان قرار گرفته است.



شکل (۱). موقعیت جغرافیایی محدوده مورد مطالعه

## داده و روش کار

در این مطالعه تصاویر بدون ابر تصاویر سنجنده‌های TM, ETM, OLI-TIRS ماهواره لندست ۵، ۷ و ۸ با قدرت

تفکیک ۳۰ متر متعلق به سال‌های ۱۳۶۵، ۱۳۸۱ و ۱۳۹۷ انتخاب و از تارنمای سازمان زمین‌شناسی آمریکا<sup>۱</sup> دریافت گردید. سپس اقدام به تصحیح رادیو متریک تصاویر شد. از آنجایی که تصاویر ماهواره‌ای به صورت کلی مقادیر رادیانس<sup>۲</sup> را اندازه‌گیری می‌کنند بایستی با کالیبره کردن هر یک از باندها این مقادیر را تبدیل به مقادیر رفلکتانس<sup>۳</sup> نمود و بدین منظور با استفاده از دستور لندست کالیبریشن<sup>۴</sup> هر یک از باندهای هر سه سنجنده در محیط نرم‌افزار Envi و با استفاده از اطلاعات موجود در متادیتای تصاویر دریافت شده، تصحیح رادیو متریک انجام گیرد و در ادامه صحت هندسی هر یک از تصاویر با ساخت تصاویر استک برای تصاویر هر سه سال با ترکیب باندهای مناسب صورت گرفته شده است. لایه جاده و همچنین برخی از تقاطع‌ها نظیر آبراهه از نقشه‌های ۱:۲۵۰۰۰ توپوگرافی استخراج و با تصویر سال ۲۰۱۸ همپوشانی شد و با بررسی بصری دقت هندسی بالای آن ها مورد تایید واقع شد. تصاویر سال ۲۰۰۲ و ۱۹۸۶ نیز هم با تصویر سال ۲۰۱۸ لینک شده و با روش Image to Image به لحاظ هندسی مورد بررسی قرار گرفت که بر اساس آن دو تصویر نیز از دقت هندسی خوبی برخوردار می‌باشند و نیازی به تصحیح هندسی تصاویر نیست. با بررسی و پیمایش های میدانی مشخص شد که چهار کلاس کاربری مسکونی، زراعت آبی، گلخانه و بایر در منطقه وجود دارد. سپس، با کاربرد سامانه موقعیت‌یاب جهانی، نمونه‌های تعلیمی از سطح حوزه تهیه شد که برای مناطق مرتفع نیز که امکان دسترسی میسر نبود، از تصاویر مربوط به Google Earth استفاده شد که در جدول همچنین سعی شد از کلاس‌هایی که دارای الگوهای طیفی متفاوتی بودند نمونه‌های تعلیمی بیشتری ذکر شده است.

جدول (۱). تعداد نمونه‌های تعلیمی و شاهد در سه دوره مورد بررسی

| نحوه اخذ  | تعداد نقاط شاهد | تعداد نقاط تعلیمی | کاربری     | تصویر   |
|---|-----------------|-------------------|------------|---------|
| پیمایش میدانی، تصاویر گوگل ارث، تفسیر بصری                  | ۶۱              | ۱۲۳               | زراعت آبی  | لندست ۸ |
|   | ۴۳              | ۱۳۰               | بایر       |         |
|   | ۳۱              | ۶۰                | انسان ساخت |         |
|   | ۲۹              | ۵۱                | گلخانه     |         |
|   | ۱۶۴             | ۳۶۴               | مجموع      |         |
| تصاویر گوگل ارث، نقشه های موجود در جهاد کشاورزی، تفسیر بصری | ۷۶              | ۲۰۵               | زراعت آبی  | لندست ۷ |
|   | ۵۳              | ۱۱۵               | بایر       |         |
|   | ۲۹              | ۱۱۴               | انسان ساخت |         |
|   | ۱۳              | ۲۱                | گلخانه     |         |
|   | ۱۷۱             | ۴۵۵               | مجموع      |         |
| تصاویر گوگل ارث، تفسیر بصری                                 | ۷۷              | ۱۴۳               | زراعت آبی  | لندست ۵ |
|   | ۴۸              | ۱۲۱               | بایر       |         |
|   | ۲۵              | ۴۳                | انسان ساخت |         |
|   | ۱۵۰             | ۳۰۷               | مجموع      |         |

1 United State Geology Survey

2 radiance

3 reflectance

4 Landsat Calibration

پس از مراحل مذکور، طبقه‌بندی تصاویر از خوارزمیک بیشترین شباهت<sup>۱</sup> استفاده شد که این روش با استفاده از میانگین و ماتریس کوواریانس داده‌های تمرینی<sup>۲</sup> از روش‌های دیگر طبقه‌بندی مانند طبقه‌بندی کمترین فاصله<sup>۳</sup> نتایج بهتری به دست می‌دهد (ریچارد و ژوپینگ<sup>۴</sup>، ۲۰۰۶)، همچنین این روش به‌عنوان یکی از دقیق‌ترین روش‌های طبقه‌بندی پیکسل پایه توسط اکثر محققین پذیرفته‌شده است (رسولی و محمود زاده، ۱۳۸۹). از میان روش‌های طبقه‌بندی نظارت‌شده، روش طبقه‌بندی حداکثر احتمال تاکنون به‌عنوان دقیق‌ترین و پراستفاده‌ترین روش‌ها ذکر شده است که در این روش، واریانس و کوواریانس کلاس‌ها را ارزیابی می‌کند. سپس، به‌منظور ارزیابی دقت نقشه‌های تولیدشده از شاخص دقت کلی و ضریب کاپا استفاده شد. دقت کلی میانگینی از دقت طبقه‌بندی است که نسبت پیکسل‌های صحیح طبقه‌بندی شده به جمع کل پیکسل‌های معلوم را نشان می‌دهد (فاطمی و رضایی، ۱۳۸۹: ۲۴۰). دقت کلی طبقه‌بندی از رابطه (۱) محاسبه شده است:

$$OA = \frac{1}{N (\sum P_{ii})} \quad \text{رابطه (۱)}$$

که در آن OA دقت کلی، N تعداد کل پیکسل‌های آزمایشی،  $\sum P_{ii}$  تعداد کل پیکسل‌های درست طبقه‌بندی شده است. همچنین ضریب "کاپا" نیز از رابطه زیر محاسبه شد. شاخص K درواقع شاخص معرف اختلاف بین توافقی واقعی و داده‌های مرجع و یک طبقه‌بندی کننده خودکار و توافقی احتمالی بین داده‌های مرجع و طبقه‌بندی کننده تصادفی است که بر اساس رابطه (۲) تعریف می‌شود (رسولی، ۱۳۸۷: ۱۹۱).

$$k = \frac{p_0 - p_c}{1 - p_0} \quad \text{رابطه (۲)}$$

که در آن  $p_0$  درستی مشاهده شده و  $p_c$  توافق مورد انتظار هستند.

### نتایج

نتایج حاصل از طبقه‌بندی تصاویر با روش طبقه‌بندی حداکثر احتمال در شکل (۲، ۳ و ۴) نشان داده شده است که بر اساس آنها می‌توان چنین مطرح نمود که در هر سه سال به ترتیب کاربری‌های زراعت آبی، اراضی بایر، انسان‌ساخت و گلخانه به ترتیب بیشترین مساحت اراضی را شامل می‌شوند (جدول ۲). البته مساحت کلاس کاربری گلخانه در تصویر سال ۱۹۸۶ برابر صفر است که به علت عدم وجود این کاربری در سال مدنظر در منطقه می‌باشد. به‌منظور اطمینان از صحت نقشه‌های تولیدشده شاخص کاپا و دقت کلی به تفکیک برای هر

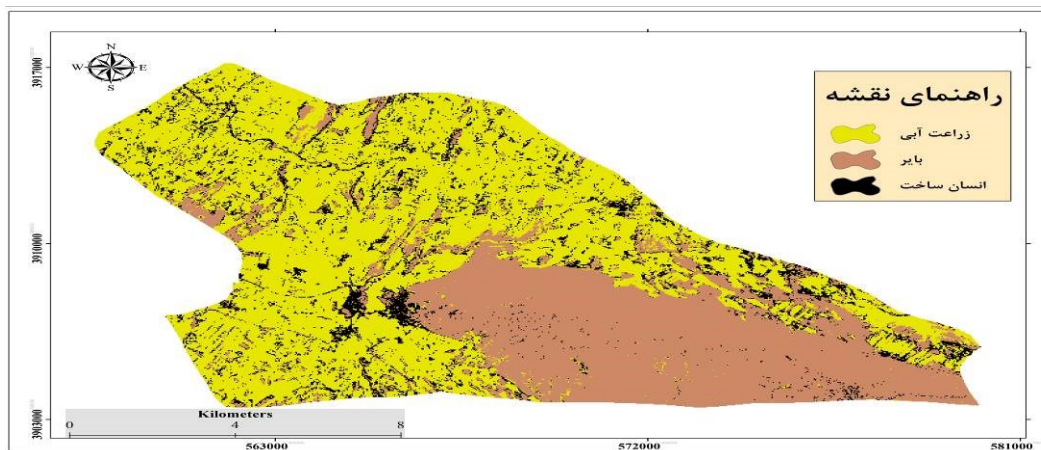
۱ Maximum Likelihood

۲ Training Data

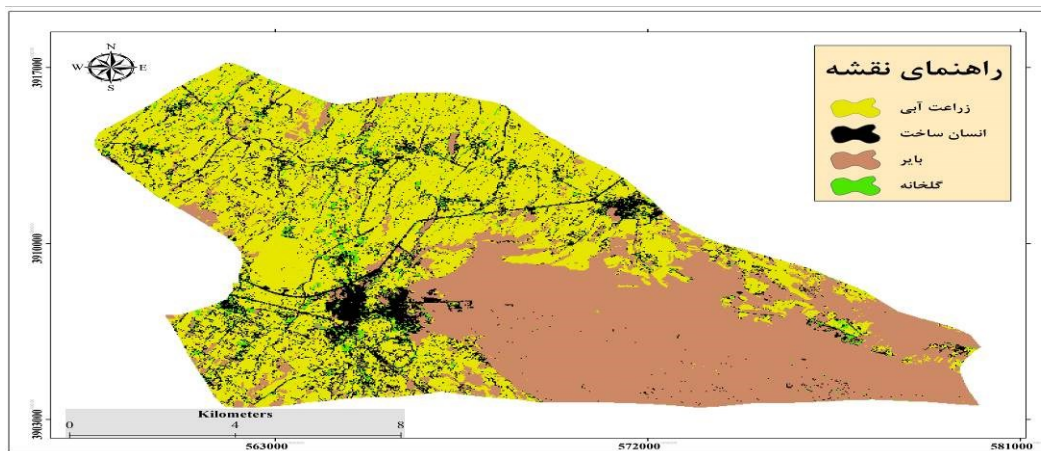
۳ Minimum Distance

۴ Richards and Xiuping

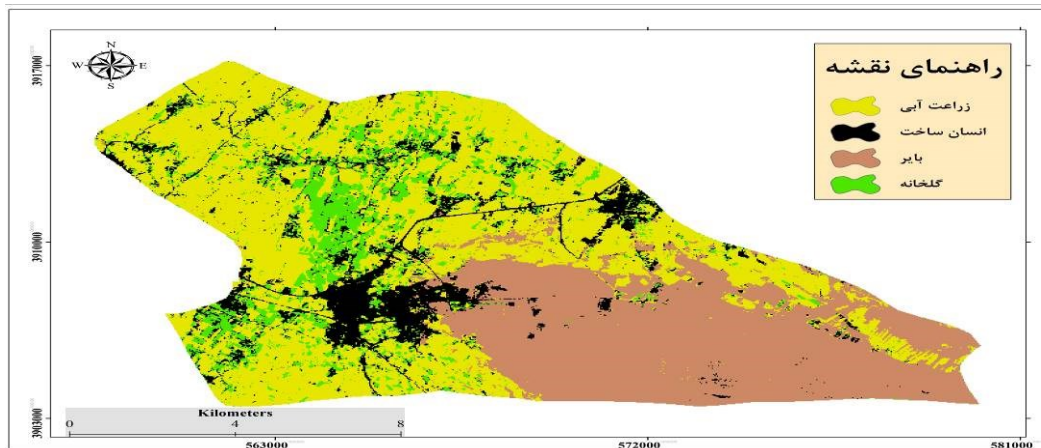
سه سال تهیه شد. بر این اساس برای تصویر سال ۲۰۱۸، شاخص کاپا و صحت کلی به ترتیب برابر ۰/۹۶ و ۹۷/۵۶ درصد، برای تصویر سال ۲۰۰۲ به ترتیب برابر ۰/۸ و ۸۶/۵۴ درصد، برای تصویر سال ۱۹۸۶ به ترتیب برابر ۰/۷۶ و ۸۶ درصد به دست آمد. بر اساس نتایج دقت طبقه‌بندی تصاویر در سال ۲۰۱۸ نسبت به ۲۰۰۲ و ۲۰۰۲ نسبت به ۱۹۸۶ بهتر است (جداول ۳، ۴ و ۵).



شکل (۲). نقشه‌های حاصل از طبقه‌بندی پوشش اراضی در سال ۱۹۸۶



شکل (۳). نقشه‌های حاصل از طبقه‌بندی پوشش اراضی در سال ۲۰۰۲



شکل (۴). نقشه‌های حاصل از طبقه‌بندی پوشش اراضی در سال ۲۰۱۸

جدول (۲). مساحت کلاس‌های پوشش اراضی در سه سال مورد بررسی

| ردیف | کاربری     | ۲۰۱۸          |              | ۲۰۰۲          |              | ۱۹۸۶          |              |
|------|------------|---------------|--------------|---------------|--------------|---------------|--------------|
|      |            | مساحت (هکتار) | مساحت (درصد) | مساحت (هکتار) | مساحت (درصد) | مساحت (هکتار) | مساحت (درصد) |
| ۱    | زراعت آبی  | ۸۱۵۴/۰۹       | ۴۷/۳۱        | ۸۰۳۵/۷۴       | ۴۶/۶۲        | ۹۵۶۵/۲۰       | ۵۵/۴۹        |
| ۲    | بایر       | ۵۴۵۹/۰۴       | ۳۱/۶۷        | ۶۶۹۰/۳۳       | ۳۸/۸۱        | ۵۹۵۷/۱۹       | ۳۴/۵۶        |
| ۳    | انسان‌ساخت | ۱۷۹۳/۷۰       | ۱۰/۴۰        | ۱۹۴۷/۴۲       | ۱۱/۲۹        | ۱۷۱۲/۷        | ۹/۹۳         |
| ۴    | گلخانه     | ۱۸۲۸/۲۶       | ۱۰/۶۰        | ۵۶۱/۶         | ۳/۲۵         | ۰             | ۰            |

منبع: مطالعات نگارندگان، ۱۳۹۸

جدول (۳). دقت تولیدکننده و کاربر تصویر طبقه‌بندی شده سال ۱۹۸۶

|            | دقت تولیدکننده |       | دقت کاربر   |       |
|------------|----------------|-------|-------------|-------|
|            | پیکسل          | درصد  | پیکسل       | درصد  |
| زراعت آبی  | ۶۹/۷۷          | ۸۹/۶۱ | ۶۹/۸۱       | ۸۵/۱۹ |
| انسان‌ساخت | ۲۰/۲۵          | ۸۰/۰۰ | ۲۰/۲۸       | ۷۱/۴۳ |
| بایر       | ۴۰/۴۸          | ۸۳/۳۳ | ۴۰/۴۱       | ۹۷/۵۶ |
|            | کاپا=۰/۷۶      |       | صحت کلی=۸۶٪ |       |

منبع: مطالعات نگارندگان، ۱۳۹۸

جدول (۴). دقت تولیدکننده و کاربر تصویر طبقه‌بندی شده سال ۲۰۰۲

|            | دقت تولیدکننده |        | دقت کاربر      |       |
|------------|----------------|--------|----------------|-------|
|            | پیکسل          | درصد   | پیکسل          | درصد  |
| زراعت آبی  | ۶۵/۷۶          | ۸۵/۵۳  | ۶۵/۷۳          | ۸۹/۰۴ |
| انسان‌ساخت | ۲۰/۲۹          | ۶۸/۹۷  | ۲۰/۲۵          | ۸۰/۰۰ |
| بایر       | ۵۳/۵۳          | ۱۰۰/۰۰ | ۵۳/۵۸          | ۹۱/۳۸ |
| گلخانه     | ۱۰/۱۳          | ۷۶/۹۲  | ۱۰/۱۵          | ۶۶/۶۷ |
|            | کاپا=۰/۸۰      |        | صحت کلی=۸۶/۵۴٪ |       |

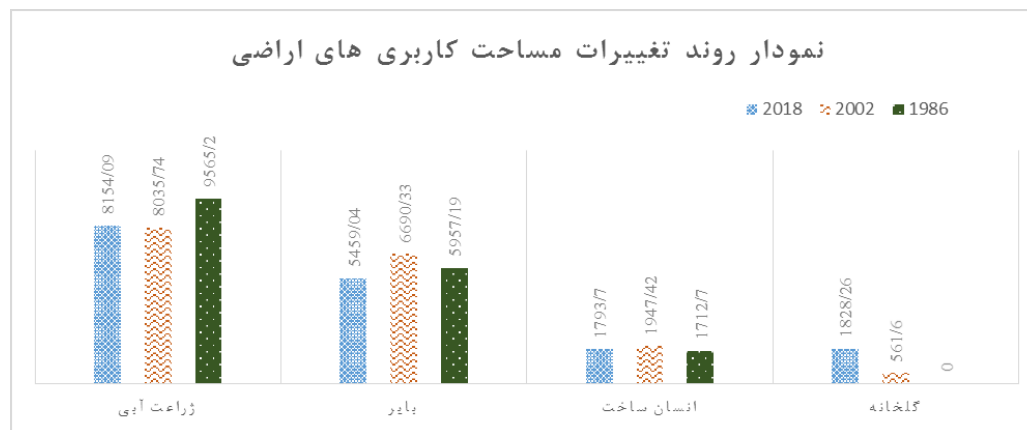


جدول (۵). دقت تولیدکننده و کاربر تصویر طبقه‌بندی شده سال ۲۰۱۸

| دقت کاربر            |       | دقت تولیدکننده |       |            |
|----------------------|-------|----------------|-------|------------|
| درصد                 | پیکسل | درصد           | پیکسل |            |
| ۱۰۰/۰۰               | ۵۸/۵۸ | ۹۷/۰۸          | ۵۸/۶۱ | زراعت آبی  |
| ۹۷/۷۳                | ۴۳/۴۴ | ۱۰۰/۰۰         | ۴۳/۴۳ | بایر       |
| ۹۶/۶۷                | ۲۹/۳۰ | ۱۰۰/۰۰         | ۲۹/۲۹ | گلخانه     |
| ۹۳/۷۵                | ۳۰/۳۲ | ۹۶/۷۷          | ۳۰/۳۱ | انسان‌ساخت |
| صحت کلی = ۹۷/۵۶ درصد |       | کاپا = ۰/۹۶    |       |            |

منبع: مطالعات نگارندگان، ۱۳۹۸

تغییرات کاربری اراضی به تفکیک در هر سه سال مورد بررسی قرار گرفت که بر این اساس اراضی زراعت آبی از سال ۱۹۸۶ تا ۲۰۰۲ کاهش (۱۵۲۹ هکتار) و مجدداً از سال ۲۰۰۲ تا سال ۲۰۱۸ (۱۱۸ هکتار) به این میزان افزوده شده است. اراضی بایر از سال ۱۹۸۶ تا ۲۰۰۲ (۷۳۳ هکتار) افزایش و مجدداً از سال ۲۰۰۲ تا ۲۰۱۸ (۱۲۳۱ هکتار) کاهش یافته است. اراضی انسان‌ساخت نیز از سال ۱۹۸۶ تا سال ۲۰۰۲ افزایش (۲۳۴ هکتار) و از سال ۲۰۰۲ تا ۲۰۱۸ (۱۵۳ هکتار) مجدداً کاهش یافته است. اراضی گلخانه‌ای از سال ۱۹۸۶ تا ۲۰۰۲ (۵۶۱ هکتار) و از ۲۰۰۲ تا ۲۰۱۸ (۱۲۶۶ هکتار) افزایش داشته است. بعد از اطمینان از دقت طبقه‌بندی تصاویر، تغییرات کاربری رخداده در هر سه دوره مورد ارزیابی قرار گرفت. در دوره اول یعنی ۱۹۸۶ تا ۲۰۰۲ در مجموع ۲۷/۶ درصد (۴۷۴۹ هکتار) از منطقه دچار تبدیلات کاربری اراضی به یکدیگر شده است. در دوره دوم یعنی ۲۰۰۲ تا ۲۰۱۸ در مجموع ۲۹/۶ درصد (۵۱۰۹ هکتار) و در دوره سوم یعنی ۱۹۸۶ تا ۲۰۱۸ در مجموع ۳۱/۸ درصد (۵۴۸۰ هکتار) از منطقه دچار تبدیلات کاربری اراضی به یکدیگر شده است (جدول ۶).



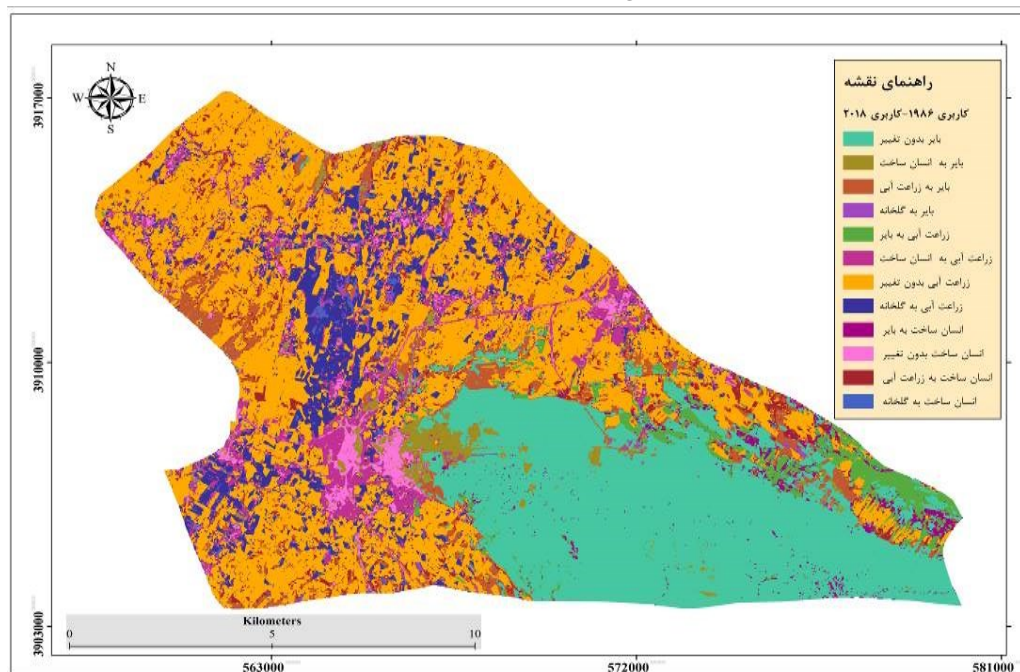
شکل (۵). نمودار روند تغییرات مساحت پوشش اراضی در سه دوره

منبع: مطالعات نگارندگان، ۱۳۹۸

جدول (۶). تبدیلات و تغییرات کاربری اراضی در سه دوره مورد بررسی

| ردیف | تبدیل کاربری از | تبدیل کاربری به | مساحت (هکتار) | درصد  |
|------|-----------------|-----------------|---------------|-------|
| ۱    | بایر            | بایر            | ۴۹۸۶/۹۹       | ۲۷/۲۲ |
| ۲    | بایر            | زراعت آبی       | ۷۹۵/۷۶        | ۴/۶۲  |
| ۳    | بایر            | گلخانه          | ۹۷/۰۸         | ۰/۵۶  |
| ۴    | بایر            | انسان ساخت      | ۳۸۱/۳۹        | ۲/۲۱  |
| ۵    | زراعت آبی       | بایر            | ۵۶۴/۱۸        | ۳/۲۸  |
| ۶    | زراعت آبی       | زراعت آبی       | ۶۶۶۰/۱۶       | ۳۸/۶۸ |
| ۷    | زراعت آبی       | گلخانه          | ۱۴۹۳          | ۸/۶۷  |
| ۸    | زراعت آبی       | انسان ساخت      | ۹۹۷/۱۹        | ۵/۷۹  |
| ۹    | انسان ساخت      | بایر            | ۲۱۰/۰۵        | ۱/۲۲  |
| ۱۰   | انسان ساخت      | زراعت آبی       | ۷۸۲/۶۲        | ۴/۵۴  |
| ۱۱   | انسان ساخت      | گلخانه          | ۱۵۹/۶۸        | ۰/۹۳  |
| ۱۲   | انسان ساخت      | انسان ساخت      | ۳۹۲/۱۱        | ۲/۲۸  |

منبع: مطالعات نگارندگان، ۱۳۹۸



شکل (۶). نقشه تبدیلات کاربری اراضی به یکدیگر در بازه ۳۲ ساله (۱۹۸۶-۲۰۱۸)

### نتیجه‌گیری

در این تحقیق برای پایش تغییرات رخ داده در بازه ۳۲ ساله از روش طبقه‌بندی نظارت‌شده بیشترین شباهت که دارای دقت بالای می‌باشد (یوسفی و همکاران، ۱۳۹۰)، استفاده شد که مشابه تحقیقات شلابی و تاتیشی (۲۰۰۷)؛ قربانی و همکاران (۱۳۹۱)؛ روستا و همکاران (۱۳۹۱)؛ سنجرى و برومند (۱۳۹۱)؛ ال کاوی و همکاران (۲۰۱۱) مورد تایید می‌باشد و همچنین، بر اساس نتایج حاصل از بررسی دقت طبقه‌بندی، تصاویر

ماهواره‌ای و روش مورد استفاده، قابلیت تهیه نقشه کاربری اراضی با دقت بالا را داشته‌اند که با نتایج تحقیقات کاظمی و همکاران (۱۳۹۰)؛ سلطانیان و همکاران (۱۳۹۳)؛ یو آن و همکاران (۲۰۰۵)؛ برخوردار و خسروشاهی (۱۳۸۶) مطابقت دارد. نتایج بررسی تبدیلات کاربری اراضی نشان داد که در دوره زمانی اول (۲۰۰۲-۱۹۸۶)، حدود ۲۷/۶۰ از اراضی منطقه دچار تغییر کاربری شده است در حالی که این امر در دوره دوم (۲۰۱۸-۲۰۰۲) حدود ۲۹/۶۰ درصد و در دوره سوم (۱۹۸۶-۲۰۱۸) حدود ۳۱/۸ درصد از کل منطقه است که نشان از بروز تغییرات گسترده در سطح منطقه دارد و این امر می‌تواند اکوسیستم منطقه را از تعادل خارج و فرایند مدیریت سرزمین را در منطقه با مشکل مواجه سازد. به صورت کلی می‌توان بیان نمود که در طی ۳۲ سال گذشته در منطقه سطح اراضی زراعی کاهش، سطح اراضی بایر کاهش و اما سطح اراضی گلخانه‌ای و انسان‌ساخت در منطقه افزایش یافته است. در این بین می‌توان روند تغییرات در منطقه را ناشی از شرایط اقلیم از قبیل کاهش بارندگی، وقوع خشک‌سالی و شرایط اجتماعی نظیر افزایش جمعیت و نیاز غذایی و همچنین ناشی از شرایط اقتصادی نظیر سود بیشتر با افزایش راندمان تولید دانست.

در منطقه مورد مطالعه در طی دوره‌های مورد مطالعه مشخص شد که بخش اعظمی از اراضی زراعت آبی به بایر تبدیل شده است. اراضی زراعت آبی در منطقه شامل یونجه، ذرت، گندم و جو می‌شود که عموماً در قسمت‌های با آب چاه موجود در منطقه تغذیه می‌شوند. تبدیل اراضی زراعی به بایر در واقع در قسمت‌های از منطقه رخ داده است که نبود آب در آن قسمت‌ها محسوس بوده است. با توجه به اینکه منطقه از شمال تا جنوب به سمت کویر شدن پیش می‌رود به نظر می‌رسد که کمبود بارش و نبود آب کافی بر اثر خشک‌سالی در این اراضی سبب خشک شدن مزارع و تبدیل شدن آن به اراضی بلااستفاده شده است که اینک با بررسی میدانی مشخص شد که خاک این اراضی در صورت وجود آب قابلیت کشت را دارند. تبدیل زراعت آبی به انسان‌ساخت نیز از دیگر تغییرات مهم رخ داده در منطقه است که با توجه به روند افزایش جمعیت در منطقه منجر به افزایش ساخت‌وساز در منطقه شده است و از آنجایی که این اراضی عموماً در حاشیه شهر و روستا واقع شده بدون در نظرگیری ارزش اقتصادی این زمین‌ها توسعه مناطق انسان‌ساخت رخ داده است. تبدیل مناطق انسان‌ساخت به اراضی زراعت آبی ناشی از توسعه باغات کشاورزی در محدوده مناطق انسان‌ساخت است که در بازتاب تصاویر به علت وجود باغ در تصویر دوم نشان‌دهنده توسعه باغات و افزایش سطح این اراضی می‌باشد. تبدیل اراضی بایر به زراعت آبی نشان‌دهنده پتانسیل خاک منطقه برای زراعت در صورت وجود آب است. با بررسی میدانی مشخص شد که در منطقه مورد مطالعه قسمت اعظمی از منطقه را نیز اراضی بایر تشکیل می‌دهد در حاشیه اراضی زراعی با حفر چاه‌های بعضاً غیرمجاز اقدام به برداشت آب و تبدیل اراضی بایر به زراعت آبی شده‌اند. از دیگر تبدیلات موجود در منطقه تبدیل اراضی زراعت آبی، انسان‌ساخت و بایر به گلخانه است که دلیل عمده آن افزایش راندمان تولید و کاهش میزان آب موجود در چاه و کاهش بارندگی در سالین اخیر می‌باشد که هدف افزایش راندمان تولید انجام شده است و در این زمینه نقش حمایت‌های دولتی در قالب حمایت از تولید با ارائه تسهیلات بانکی و غیره نیز مشخص است. به‌طور کلی، در طی ۳۲ سال اخیر مهم‌ترین تبدیلات افزایش سطح اراضی گلخانه‌ای باهدف افزایش راندمان تولیدات کشاورزی بر اثر کاهش سطح اراضی زراعی، افزایش سطح اراضی انسان‌ساخت بر اثر تبدیل اراضی زراعی به اراضی انسان‌ساخت از مهم‌ترین تغییرات رخ داده در منطقه

است. در مجموع می توان چنین تصریح نمود که شناخت مقدار و روند تغییرات در کاربری های مختلف موجب فهم بیشتر و اتخاذ تصمیم مناسب مدیریتی در ارتباط با کاربری های مختلف خواهد شد. البته باید اذعان کرد که علت اصلی این تغییرات، مسائلی مانند عدم آگاهی زیست محیطی، کم کاری مسئولان، عدم وجود قوانین مناسب و عدم وجود شغل مناسب در منطقه است که برای کسب درآمد اقدام به تغییرات کاربری منطقه می شود. لذا، مدیریت مناسب و اجرای برنامه های آمایش سرزمین در این منطقه ضروری به نظر می رسد.

### منابع

- امینی، منیره. (۱۳۹۶). پایش تغییرات کاربری اراضی با به کارگیری تکنیک سنجش از دور (مطالعه موردی: شهرستان ساوجبلاغ، استان البرز، کارشناسی ارشد رشته آمایش سرزمین، مرکز تهران شرق، دانشگاه پیام نور، ۱۳۹۶.
- برخورداری جلال؛ خسروشاهی محمد. (۱۳۸۶). بررسی اثر تغییرات پوشش اراضی و اقلیم بر جریان رودخانه (مطالعه موردی: حوزه آبخیز میناب). مجله پژوهش و سازندگی. ۷۷ (۴): ۱۹۸-۱۹۱.
- پیروز زاده سلیمان، خسروی محمود، فتوحی صمد. (۱۳۹۸). پیش بینی تغییرات فضایی - زمانی تپه های ماسه ای ناشی از طوفان های دریایی (مطالعه موردی: سواحل مکران). نشریه تحقیقات کاربردی علوم جغرافیایی. ۱۹ (۵۲): ۷۵-۵۷.
- تولابی سیمین؛ حاجی نوری نرگس. (۱۳۸۵). تهیه کاربری اراضی پاکدشت با استفاده از RS و GIS. نشریه علوم جغرافیایی، ۵ ( ۶ و ۷): ۴۰-۲۷.
- حیدریان، پیمان، رنگرن، کاظم، ملکی، سعید، تقی زاده، ایوب. (۱۳۹۲). پایش تغییرات کاربری اراضی با استفاده از روش مقایسه پس از طبقه بندی تصاویر ماهواره لندست (مطالعه موردی: اراضی شهر تهران). سنجش از دور و سامانه اطلاعات جغرافیایی در منابع طبیعی. ۴(۴): ۱-۱۰.
- رسولی، علی اکبر و محمود زاده حسن. (۱۳۸۹). مبانی سنجش از دور دانش پایه. انتشارات علمیران. چاپ اول.
- رسولی، علی اکبر. (۱۳۸۷). مبانی سنجش از دور کاربردی با تأکید بر پردازش تصاویر ماهواره ای. انتشارات دانشگاه تبریز.
- روستا، زهرا؛ منوری، سیدمسعود؛ درویش، مهدی؛ فلاحتی، فاطمه. (۱۳۹۱). کاربرد سنجش از دور و سیستم اطلاعاتی جغرافیایی در استخراج نقشه ی کاربری اراضی حاشیه شهر شیراز. آمایش سرزمین، ۴(۶): ۱۶۴-۱۴۹.
- سبزقبایی، غلامرضا؛ جعفر زاده کاوه؛ دشتی سیده سولماز؛ یوسفی خانقاه شهرام؛ بزم آرا بلشتی مژگان. (۱۳۹۶). آشکارسازی تغییرات کاربری اراضی با استفاده از روش های سنجش از دور و سیستم اطلاعات جغرافیایی (مطالعه موردی: شهرستان قائم شهر). علوم و تکنولوژی محیط زیست، دوره نوزدهم، شماره سه: ۱۴۵-۱۵۷.
- سلطانیان، ستار؛ رحیمی احسان؛ سبز قبائی غلامرضا؛ رستمی کیانوش؛ زیدی، امیر. (۱۳۹۳). ارزیابی روند تغییرات کاربری اراضی منطقه حفاظت شده اشترانکوه بین سال های ۱۳۶۸ تا ۱۳۸۴ با استفاده از تصاویر Landsat. فصلنامه فن آوری های نوین در مهندسی محیط زیست و منابع تجدید پذیر، ۱(۱): ۱۳-۲.

- سنجری صالح؛ برومند ناصر. (۱۳۹۲). پایش تغییرات کاربری/پوشش اراضی در سه دهه‌ی گذشته با استفاده از تکنیک سنجش از دور (مطالعه‌ی موردی: منطقه‌ی زرنده استان کرمان. مجله‌ی کاربرد سنجش از دور و GIS در علوم منابع طبیعی، ۴(۱): ۵۶-۶۷.
- فارسی جواد؛ یوسفی مریم. (۱۳۹۲). آشکارسازی تغییرات کاربری اراضی با استفاده از داده‌های سنجش از دور (مطالعه موردی: دشت بجنورد). فصلنامه جغرافیا و مطالعات محیطی، ۲(۷): ۹۵-۱۰۶.
- فاطمی، باقر و رضایی، یوسف. (۱۳۸۹). مبانی سنجش از دور. انتشارات آزاده. چاپ دوم.
- قربانی رسول؛ تقی پور علی‌اکبر؛ محمود زاده حسن. (۱۳۹۱). ارزیابی و تحلیل تغییرات کاربری اراضی محدوده‌ی تالاب‌های بین‌المللی آلاگل، آلاگل و آجی ترکمن صحرا با استفاده از تصاویر ماهواره‌ای چند زمانه. جغرافیا و برنامه‌ریزی محیطی، ۲۳(۴۸): ۱۸۶-۱۶۸.
- کاظمی مهدی؛ مهدوی یداله؛ رضایی پیمان؛ پورمحمدی فرهاد. (۱۳۹۰). برآورد تغییرات پوشش و کاربری اراضی با استفاده از سیستم‌های اطلاعاتی جغرافیایی (مطالعه‌ی موردی: حوضه‌ی آبخیز تنگ بستانک شیراز). کاربرد سنجش از دور و GIS در علوم منابع طبیعی، ۲(۱): ۱۱۶-۱۰۳.
- علوی پناه، سید کاظم. (۱۳۸۴). کاربرد سنجش از دور در علوم زمین. انتشارات دانشگاه تهران.
- علیخواه اصل مرضیه؛ ناصری داریوش؛ فروتن الهام. (۱۳۹۵). بررسی اثر تغییرات پوشش اراضی بر مراتع حوزه آبخیز قوری چای با تکنیک سنجش از دور. علوم و تکنولوژی محیط زیست، انتشار آنلاین، 10.22034/jest.2018.17887.2664.
- موسوی سید حجت؛ رنجبر ابوالفضل؛ حاصلی مهدی. (۱۳۹۴). پایش و روند یابی تغییرات کاربری اراضی حوضه ابرکوه با استفاده از تصاویر ماهواره‌ای (۲۰۱۴-۱۹۷۶). فصلنامه علمی - پژوهشی اطلاعات جغرافیایی (سپهر)، دوره ۲۵، شماره ۹۷: ۱۳۰-۱۴۶.
- یوسفی صالح؛ تازه مهدی؛ میرزایی سمیه؛ مرادی حمیدرضا؛ توانگر شهلا. (۱۳۹۰). مقایسه الگوریتم‌های مختلف طبقه‌بندی تصاویر ماهواره‌ای در تهیه نقشه کاربری اراضی (مطالعه موردی: شهرستان نور). کاربرد سنجش از دور و GIS در علوم منابع طبیعی، ۲: ۲۵-۱۵.
- Abdul Athick, Mohammed., Karuppannan, Shankar, (2019), **Data on land use and land cover changes in Adama Wereda, Ethiopia, on ETM+, TM and OLI- TIRS landsat sensor using PCC and CDM techniques**, Data in brief, 24 (2019): 103880.
- Deng, Ziwei., Zhu, Xiang., He, Qingyun., Tang, Lisha, (2018), **Land use/land cover classification using time series Landsat 8 images in a heavily urbanized area**, Advances in Space Research, 63 (7).
- Elcavy, O.R ABD., Rod, J.K., Ismail, H.A., Suliman, A.S, (2011), **Land use and land cover changes detections in the western Nile delta of Egypt using remote sensing data**, applied geography, 31 (2011), 483-494.
- Richards, J., Xiuping, J, (2006), **Remote Sensing Digital Image Analysis: An Introduction**, 4th Edition, Springer.
- Xu, Yidi., Yu, Le., Zhao, Feng R., Cai, Xueliang., Zhao, Jiyao., Lu, Hui., Gong, Peng, (2018), **Tracking annual cropland changes from 1984 to 2016 using time-series Landsat images with a change-detection and post-classification approach: Experiments from three sites in Africa**, Remote Sensing of Environment, 218 (2018), 13-31.

Yang, X., Lo, C, (2002), Using a time series of satellite imagery to detect land use and land cover changes in the Atlanta, Georgia metropolitan area, *International Journal of Remote Sensing*, 23: 1775- 1798.

Yuan, F., Bauer, M.E., Heinert, N.J., Holden, G.R, (2005), Multi-level Land Cover Mapping of the Twin Cities (Minnesota) Metropolitan Area with Multi-seasonal Landsat TM/ETM+ Data, *Geocarto International*, 317– 328.

Yuan, F.K.E., Sawaya, B.C., Loeffelholz, M.E, (2005), Land cover classification and change analysis of the Twin (Minnesota) Metropolitan Area by multi temporal Landsat remote sensing, *Remote sensing of Environment*, 95, 317-328.